

Starkniederschlagshöhen und -spenden gemäß KOSTRA-DWD-2020

Rasterfeld 218160

(Zeile 218, Spalte 160)

Regenspende und Bemessungsniederschlagswerte in Abhängigkeit von Wiederkehrzeit T und Dauerstufe D

| Dauerstufe D | | Wiederkehrzeit T | | | | | | | | | | | | | | | | | |
|--------------|-----|------------------|------------|-------|------------|-------|------------|-------|------------|-------|------------|-------|------------|-------|------------|-------|------------|-------|------------|
| | | 1 a | | 2 a | | 3 a | | 5 a | | 10 a | | 20 a | | 30 a | | 50 a | | 100 a | |
| min | Std | mm | l / (s ha) | mm | l / (s ha) | mm | l / (s ha) | mm | l / (s ha) | mm | l / (s ha) | mm | l / (s ha) | mm | l / (s ha) | mm | l / (s ha) | mm | l / (s ha) |
| 5 | | 8,7 | 290,0 | 10,4 | 346,7 | 11,5 | 383,3 | 12,8 | 426,7 | 14,8 | 493,3 | 16,9 | 563,3 | 18,2 | 606,7 | 20,0 | 666,7 | 22,5 | 750,0 |
| 10 | | 11,0 | 183,3 | 13,1 | 218,3 | 14,4 | 240,0 | 16,1 | 268,3 | 18,6 | 310,0 | 21,2 | 353,3 | 22,9 | 381,7 | 25,1 | 418,3 | 28,3 | 471,7 |
| 15 | | 12,5 | 138,9 | 15,0 | 166,7 | 16,5 | 183,3 | 18,5 | 205,6 | 21,3 | 236,7 | 24,3 | 270,0 | 26,2 | 291,1 | 28,7 | 318,9 | 32,3 | 358,9 |
| 20 | | 13,8 | 115,0 | 16,5 | 137,5 | 18,1 | 150,8 | 20,3 | 169,2 | 23,4 | 195,0 | 26,7 | 222,5 | 28,8 | 240,0 | 31,6 | 263,3 | 35,6 | 296,7 |
| 30 | | 15,7 | 87,2 | 18,8 | 104,4 | 20,7 | 115,0 | 23,2 | 128,9 | 26,8 | 148,9 | 30,5 | 169,4 | 32,9 | 182,8 | 36,1 | 200,6 | 40,7 | 226,1 |
| 45 | | 18,0 | 66,7 | 21,5 | 79,6 | 23,7 | 87,8 | 26,5 | 98,1 | 30,6 | 113,3 | 34,9 | 129,3 | 37,7 | 139,6 | 41,3 | 153,0 | 46,5 | 172,2 |
| 60 | 1 | 19,8 | 55,0 | 23,7 | 65,8 | 26,0 | 72,2 | 29,2 | 81,1 | 33,7 | 93,6 | 38,4 | 106,7 | 41,4 | 115,0 | 45,4 | 126,1 | 51,1 | 141,9 |
| 90 | 1,5 | 22,6 | 41,9 | 27,1 | 50,2 | 29,8 | 55,2 | 33,4 | 61,9 | 38,5 | 71,3 | 43,9 | 81,3 | 47,3 | 87,6 | 51,9 | 96,1 | 58,5 | 108,3 |
| 120 | 2 | 24,9 | 34,6 | 29,8 | 41,4 | 32,8 | 45,6 | 36,7 | 51,0 | 42,4 | 58,9 | 48,2 | 66,9 | 52,1 | 72,4 | 57,1 | 79,3 | 64,3 | 89,3 |
| 180 | 3 | 28,5 | 26,4 | 34,0 | 31,5 | 37,5 | 34,7 | 42,0 | 38,9 | 48,5 | 44,9 | 55,2 | 51,1 | 59,5 | 55,1 | 65,3 | 60,5 | 73,5 | 68,1 |
| 240 | 4 | 31,3 | 21,7 | 37,4 | 26,0 | 41,2 | 28,6 | 46,1 | 32,0 | 53,3 | 37,0 | 60,7 | 42,2 | 65,5 | 45,5 | 71,8 | 49,9 | 80,9 | 56,2 |
| 360 | 6 | 35,8 | 16,6 | 42,8 | 19,8 | 47,1 | 21,8 | 52,8 | 24,4 | 60,9 | 28,2 | 69,4 | 32,1 | 74,9 | 34,7 | 82,1 | 38,0 | 92,5 | 42,8 |
| 540 | 9 | 40,9 | 12,6 | 48,9 | 15,1 | 53,9 | 16,6 | 60,3 | 18,6 | 69,7 | 21,5 | 79,3 | 24,5 | 85,6 | 26,4 | 93,9 | 29,0 | 105,7 | 32,6 |
| 720 | 12 | 45,0 | 10,4 | 53,8 | 12,5 | 59,2 | 13,7 | 66,4 | 15,4 | 76,6 | 17,7 | 87,2 | 20,2 | 94,2 | 21,8 | 103,2 | 23,9 | 116,3 | 26,9 |
| 1080 | 18 | 51,5 | 7,9 | 61,5 | 9,5 | 67,7 | 10,4 | 75,9 | 11,7 | 87,6 | 13,5 | 99,7 | 15,4 | 107,7 | 16,6 | 118,0 | 18,2 | 132,9 | 20,5 |
| 1440 | 24 | 56,6 | 6,6 | 67,7 | 7,8 | 74,5 | 8,6 | 83,4 | 9,7 | 96,4 | 11,2 | 109,7 | 12,7 | 118,4 | 13,7 | 129,8 | 15,0 | 146,2 | 16,9 |
| 2880 | 48 | 71,2 | 4,1 | 85,1 | 4,9 | 93,7 | 5,4 | 104,9 | 6,1 | 121,2 | 7,0 | 137,9 | 8,0 | 148,9 | 8,6 | 163,3 | 9,5 | 183,8 | 10,6 |
| 4320 | 72 | 81,4 | 3,1 | 97,3 | 3,8 | 107,1 | 4,1 | 120,0 | 4,6 | 138,6 | 5,3 | 157,7 | 6,1 | 170,2 | 6,6 | 186,7 | 7,2 | 210,2 | 8,1 |
| 5760 | 96 | 89,6 | 2,6 | 107,0 | 3,1 | 117,8 | 3,4 | 132,0 | 3,8 | 152,4 | 4,4 | 173,4 | 5,0 | 187,2 | 5,4 | 205,3 | 5,9 | 231,2 | 6,7 |
| 7200 | 120 | 96,4 | 2,2 | 115,2 | 2,7 | 126,8 | 2,9 | 142,1 | 3,3 | 164,0 | 3,8 | 186,7 | 4,3 | 201,6 | 4,7 | 221,0 | 5,1 | 248,9 | 5,8 |
| 8640 | 144 | 102,4 | 2,0 | 122,3 | 2,4 | 134,7 | 2,6 | 150,9 | 2,9 | 174,2 | 3,4 | 198,3 | 3,8 | 214,1 | 4,1 | 234,7 | 4,5 | 264,4 | 5,1 |
| 10080 | 168 | 107,8 | 1,8 | 128,7 | 2,1 | 141,7 | 2,3 | 158,8 | 2,6 | 183,3 | 3,0 | 208,7 | 3,5 | 225,3 | 3,7 | 247,0 | 4,1 | 278,2 | 4,6 |

Starkniederschlagshöhen und -spenden gemäß KOSTRA-DWD-2020

Rasterfeld 218160

(Zeile 218, Spalte 160)

Örtliche Unsicherheiten in Abhängigkeit von Wiederkehrzeit T und Dauerstufe D

| Dauerstufe D | | Wiederkehrzeit T | | | | | | | | |
|--------------|-----|------------------|-----|-----|-----|------|------|------|------|-------|
| | | 1 a | 2 a | 3 a | 5 a | 10 a | 20 a | 30 a | 50 a | 100 a |
| min | Std | ± % | ± % | ± % | ± % | ± % | ± % | ± % | ± % | ± % |
| 5 | | 27 | 28 | 28 | 29 | 29 | 29 | 30 | 30 | 30 |
| 10 | | 29 | 30 | 30 | 31 | 31 | 32 | 32 | 32 | 32 |
| 15 | | 29 | 30 | 31 | 31 | 32 | 32 | 32 | 32 | 33 |
| 20 | | 29 | 30 | 30 | 31 | 31 | 32 | 32 | 32 | 32 |
| 30 | | 28 | 29 | 29 | 30 | 30 | 31 | 31 | 31 | 32 |
| 45 | | 27 | 28 | 28 | 29 | 29 | 30 | 30 | 30 | 30 |
| 60 | 1 | 26 | 27 | 27 | 27 | 28 | 28 | 29 | 29 | 29 |
| 90 | 1,5 | 24 | 25 | 25 | 26 | 26 | 27 | 27 | 27 | 27 |
| 120 | 2 | 23 | 24 | 24 | 24 | 25 | 25 | 26 | 26 | 26 |
| 180 | 3 | 21 | 22 | 22 | 22 | 23 | 23 | 24 | 24 | 24 |
| 240 | 4 | 20 | 20 | 21 | 21 | 22 | 22 | 22 | 23 | 23 |
| 360 | 6 | 18 | 18 | 19 | 19 | 20 | 20 | 20 | 21 | 21 |
| 540 | 9 | 16 | 17 | 17 | 17 | 18 | 18 | 18 | 19 | 19 |
| 720 | 12 | 15 | 16 | 16 | 16 | 17 | 17 | 17 | 17 | 18 |
| 1080 | 18 | 14 | 14 | 14 | 15 | 15 | 15 | 16 | 16 | 16 |
| 1440 | 24 | 13 | 13 | 13 | 14 | 14 | 14 | 15 | 15 | 15 |
| 2880 | 48 | 12 | 12 | 12 | 12 | 12 | 12 | 13 | 13 | 13 |
| 4320 | 72 | 12 | 12 | 12 | 12 | 12 | 12 | 12 | 12 | 12 |
| 5760 | 96 | 12 | 12 | 12 | 12 | 12 | 12 | 12 | 12 | 12 |
| 7200 | 120 | 13 | 12 | 12 | 12 | 12 | 12 | 12 | 12 | 12 |
| 8640 | 144 | 13 | 12 | 12 | 12 | 12 | 12 | 12 | 12 | 12 |
| 10080 | 168 | 14 | 13 | 13 | 12 | 12 | 12 | 12 | 12 | 12 |

Parameter für abweichende T und D

Lokationsparameter ξ (Xi)

19,81729977

Skalenparameter α (Alpha)

5,36070615

Formparameter κ (Kappa)

-0,1

1. Koutsoyiannis-Parameter θ (Theta)

0,0

2. Koutsoyiannis-Parameter η (Eta)

0,66941957

Parameter für dauerstufenübergreifende Extremwertschätzung nach KOUTSOYIANNIS et al. 1998.

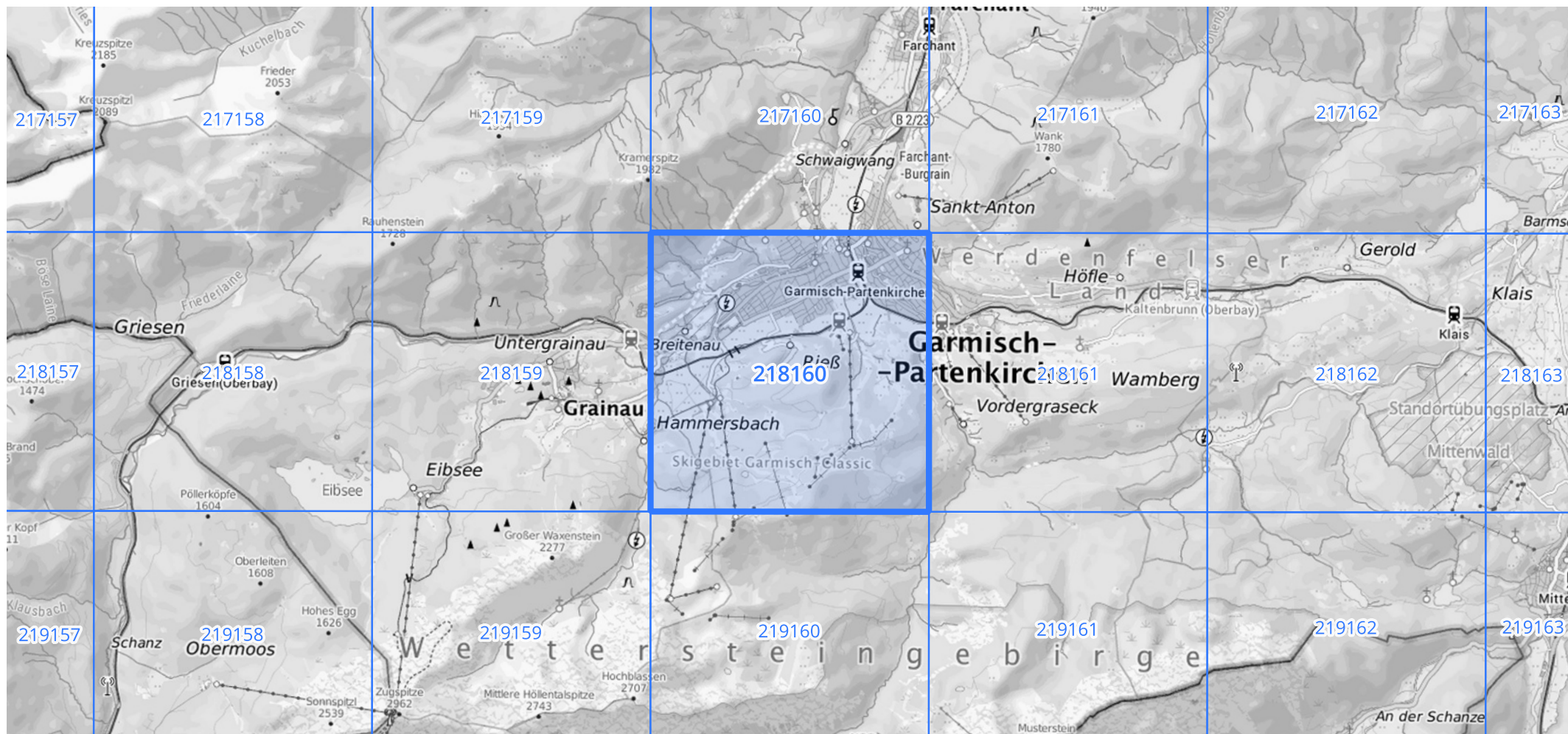
Siehe auch Anwendungshilfe zu KOSTRA-DWD-2020 des Deutschen Wetterdienstes.

Starkniederschlagshöhen und -spenden gemäß KOSTRA-DWD-2020

Rasterfeld 218160

(Zeile 218, Spalte 160)

Übersichtskarte des Rasterfeldes 218160, M 1 : 100 000



Quelle Rasterdaten: KOSTRA-DWD-2020 des Deutschen Wetterdienstes, Stand 12/2022.

Seite 3 von 3

Kartendarstellung: © Bundesamt für Kartographie und Geodäsie (2023), Datenquellen: https://sgx.geodatenzentrum.de/web_public/gdz/datenquellen/Datenquellen_TopPlusOpen.html

Für die Richtigkeit und Aktualität der Angaben wird keine Gewähr übernommen. Erstellt 01/2023.